Низкие динамические потери
Малый заряд обратного восстановления
Разветвленный управляющий электрод для высоких скоростей нарастания тока

Быстродействующий Импульсный Тиристор Тип ТБИ433-400-12

Средний прямой ток	I_{TAV}	400 А
Повторяющееся импульсное напряжение в закрытом состоянии	U_{DRM}	1000 ÷ 1200 В
Повторяющееся импульсное обратное напряжение	U_{RRM}	
Время выключения	t_q	10.0 мкс

U_{DRM}, U_{RRM}, В	1000	1200
Класс по напряжению	10	12
T_j, °C	– 60 ÷ 125	

ПРЕДЕЛЬНО ДОПУСТИМЫЕ ЗНАЧЕНИЯ ПАРАМЕТРОВ

Обозначение и наименование параметра		Ед. изм.	Значение	Условия измерения	
Параметры в проводящем состоянии					
I_{TAV}	Средний ток в открытом состоянии	А	400 645	T_c=90 °C; двухстороннее охлаждение; T_c=55 °C; двухстороннее охлаждение; 180 эл. град. синус; 50 Гц	
I_{TRMS}	Действующий ток в открытом состоянии	А	628	T_c=90 °C; двухстороннее охлаждение; 180 эл. град. синус; 50 Гц	
I_{TSM}	Ударный ток в открытом состоянии	кА	7.0 8.0	T_j=$T_{j\,max}$ T_j=25 °C	180 эл. град. синус; 50 Гц (t_p=10 мс); единичный импульс; U_D=U_R=0 В; Импульс управления: I_G=I_{FGM}; U_G=20 В; t_{GP}=50 мкс; di_G/dt=1 А/мкс
			8.0 9.2	T_j=$T_{j\,max}$ T_j=25 °C	180 эл. град. синус; 60 Гц (t_p=8.3 мс); единичный импульс; U_D=U_R=0 В; Импульс управления: I_G=I_{FGM}; U_G=20 В; t_{GP}=50 мкс; di_G/dt=1 А/мкс
I^2t	Защитный фактор	$A^2c\cdot10^3$	245 320	T_j=$T_{j\,max}$ T_j=25 °C	180 эл. град. синус; 50 Гц (t_p=10 мс); единичный импульс; U_D=U_R=0 В; Импульс управления: I_G=I_{FGM}; U_G=20 В; t_{GP}=50 мкс; di_G/dt=1 А/мкс
			335 445	T_j=$T_{j\,max}$ T_j=25 °C	180 эл. град. синус; 60 Гц (t_p=8.3 мс); единичный импульс; U_D=U_R=0 В; Импульс управления: I_G=I_{FGM}; U_G=20 В; t_{GP}=50 мкс; di_G/dt=1 А/мкс

Блокирующие параметры				
U_{DRM}, U_{RRM}	Повторяющееся импульсное обратное напряжение и повторяющееся импульсное напряжение в закрытом состоянии	В	1000÷1200	$T_{j\,min} < T_j < T_{j\,max}$; 180 эл. град. синус; 50 Гц; управление разомкнуто
U_{DSM}, U_{RSM}	Неповторяющееся импульсное обратное напряжение и неповторяющееся импульсное напряжение в закрытом состоянии	В	1100÷1300	$T_{j\,min} < T_j < T_{j\,max}$; 180 эл. град. синус; 50 Гц; единичный импульс; управление разомкнуто
U_D, U_R	Постоянное обратное и постоянное прямое напряжение	В	$0.75 \cdot U_{DRM}$ $0.75 \cdot U_{RRM}$	$T_j = T_{j\,max}$; управление разомкнуто
Параметры управления				
I_{FGM}	Максимальный прямой ток управления	А	6	$T_j = T_{j\,max}$
U_{RGM}	Максимальное обратное напряжение управления	В	5	
P_G	Максимальная рассеиваемая мощность по управлению	Вт	3	$T_j = T_{j\,max}$ для постоянного тока управления
Параметры переключения				
$(di_T/dt)_{crit}$	Критическая скорость нарастания тока в открытом состоянии (f=1 Hz)	А/мкс	1600	$T_j = T_{j\,max}$; $U_D = 0.67 \cdot U_{DRM}$; $I_{TM} = 2\ I_{TAV}$; Импульс управления: $I_G = I_{FGM}$; $U_G = 20$ В; $t_{GP} = 50$ мкс; $di_G/dt = 1$ А/мкс
Тепловые параметры				
T_{stg}	Температура хранения	°C	– 60 ÷ 125	
T_j	Температура p-n перехода	°C	– 60 ÷ 125	
Механические параметры				
F	Монтажное усилие	кН	9.0÷11.0	
a	Ускорение	м/с^2	50 100	В не зажатом состоянии В зажатом состоянии

ХАРАКТЕРИСТИКИ

Обозначение и наименование характеристики		Ед. изм.	Значение	Условия измерения
Характеристики в проводящем состоянии				
U_{TM}	Импульсное напряжение в открытом состоянии, макс	В	2.40	$T_j = 25$ °C; $I_{TM} = 1256$ А
$U_{T(TO)}$	Пороговое напряжение, макс	В	1.35	$T_j = T_{j\,max}$; $0.5\ \pi\ I_{TAV} < I_T < 1.5\ \pi\ I_{TAV}$
r_T	Динамическое сопротивление в открытом состоянии, макс	мОм	0.85	
I_H	Ток удержания, макс	мА	500	$T_j = 25$ °C; $U_D = 12$ В; управление разомкнуто
Блокирующие характеристики				
I_{DRM}, I_{RRM}	Повторяющийся импульсный обратный ток и повторяющийся импульсный ток в закрытом состоянии, макс	мА	50	$T_j = T_{j\,max}$; $U_D = U_{DRM}$; $U_R = U_{RRM}$
$(dv_D/dt)_{crit}$	Критическая скорость нарастания напряжения в закрытом состоянии[1)], мин	В/мкс	1000	$T_j = T_{j\,max}$; $U_D = 0.67 \cdot U_{DRM}$; управление разомкнуто

Характеристики управления					
U_{GT}	Отпирающее постоянное напряжение управления, макс	В	4.00 2.50 2.00	$T_j = T_{j\,min}$ T_j=25 °C $T_j = T_{j\,max}$	U_D=12 В; I_D=3 А; Постоянный ток управления
I_{GT}	Отпирающий постоянный ток управления, макс	мА	500 300 200	$T_j = T_{j\,min}$ T_j= 25 °C $T_j = T_{j\,max}$	
U_{GD}	Неотпирающее постоянное напряжение управления, мин	В	0.25	$T_j=T_{j\,max}$; $U_D=0.67 \cdot U_{DRM}$; Постоянный ток управления	
I_{GD}	Неотпирающий постоянный ток управления, мин	мА	10.00		
Динамические характеристики					
t_{gd}	Время задержки включения	мкс	2.0	T_j=25 °C; $V_D=0.4 \cdot V_{DRM}$; $I_{TM}=I_{TAV}$; Gate pulse: $I_G=I_{FGM}$; V_G=20 V; t_{GP}=50 µs; di_G/dt=1 A/µs	
t_q	Время выключения[2], макс	мкс	10.0	dv_D/dt=50 В/мкс;	$T_j=T_{j\,max}$; $I_{TM}= I_{TAV}$; di_R/dt=-10 А/мкс; U_R=100 В; $U_D=0.67U_{DRM}$
			12.5	dv_D/dt=200 В/мкс;	
Q_{rr}	Заряд обратного восстановления, макс	мкКл	100	$T_j=T_{j\,max}$; $I_{TM}= I_{TAV}$; di_R/dt=-50 А/мкс ; U_R=100 В	
t_{rr}	Время обратного восстановления, макс	мкс	3.2		
I_{rrM}	Ток обратного восстановления, макс	А	80		
Тепловые характеристики					
R_{thjc}	Тепловое сопротивление p-n переход-корпус, макс	°C/Вт	0.0400	Постоянный ток	Двухстороннее охлаждение
$R_{thjc\text{-}A}$			0.0880		Охлаждение со стороны анода
$R_{thjc\text{-}K}$			0.0720		Охлаждение со стороны катода
R_{thck}	Тепловое сопротивление корпус-охладитель, макс	°C/Вт	0.006	Постоянный ток	
Механические характеристики					
w	Масса, тип	г	180		
D_s	Длина пути тока утечки по поверхности	мм (дюйм)	19.44 (0.765)		
D_a	Длина пути тока утечки по воздуху	мм (дюйм)	12.10 (0.476)		

ПРИМЕЧАНИЕ

[1] Критическая скорость нарастания напряжения в закрытом состоянии

Обозначение группы	A2
$(dv_D/dt)_{crit}$, В/мкс	1000

[2] Время выключения (dv_D/dt=50 В/мкс)

Обозначение группы	A4
t_q, мкс	10.0

МАРКИРОВКА

ТБИ	433	400	12	A2	A4	УХЛ2
1	2	3	4	5	6	7

1. Быстродействующий импульсный тиристор
2. Конструктивное исполнение
3. Средний ток в открытом состоянии, А
4. Класс по напряжению
5. Критическая скорость нарастания напряжения в закрытом состоянии
6. Группа по времени выключения (dv_D/dt=50 В/мкс)
7. Климатическое исполнение по ГОСТ 15150: УХЛ2, Т

ГАБАРИТНЫЕ РАЗМЕРЫ

Тип корпуса: Т.В3

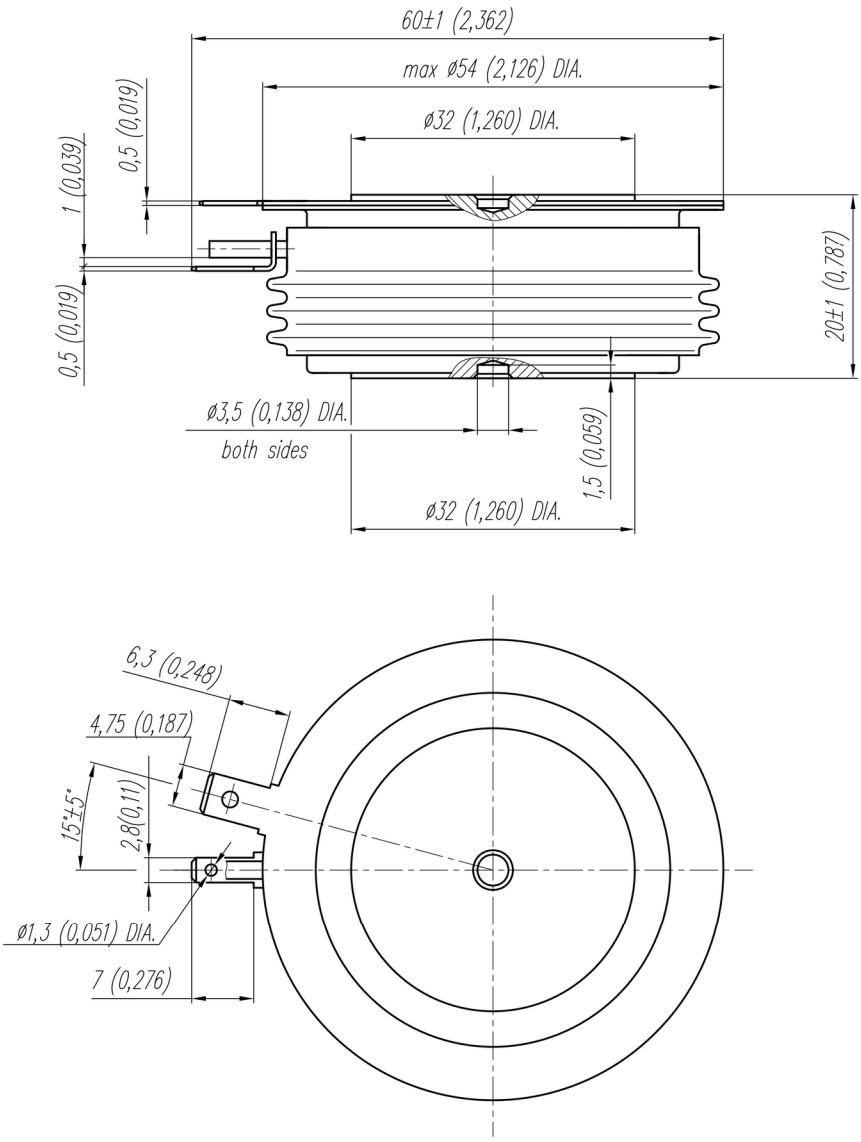

Все размеры в миллиметрах (дюймах)

Содержащаяся здесь информация является конфиденциальной и находится под защитой авторских прав.
В интересах улучшения качества продукции, ЗАО «Протон-Электротекс» оставляет за собой право изменять информационные листы без уведомления.

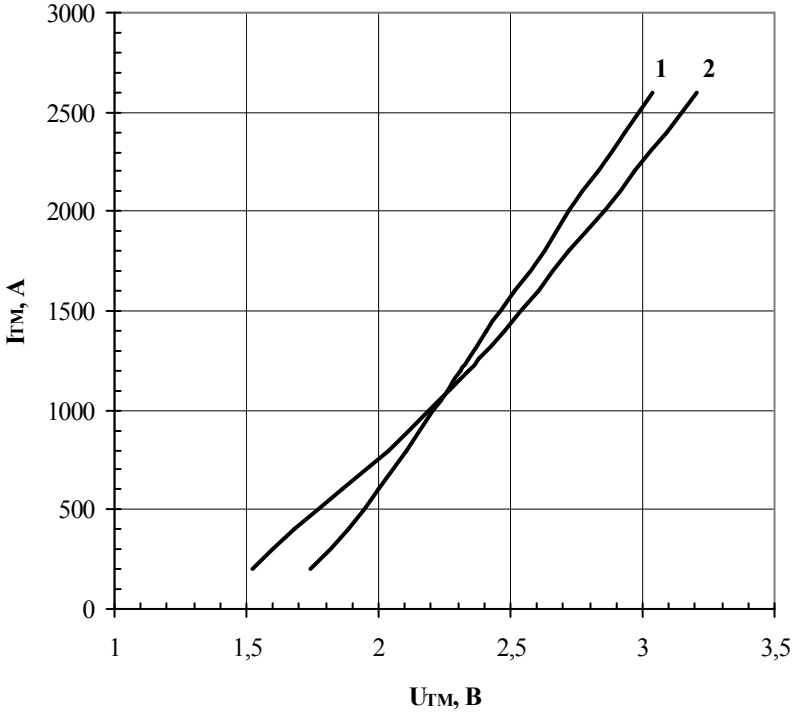

Fig. 1 On-state characteristics of Limit device
1 – T_j=25 °C
2 – T_j=125 °C

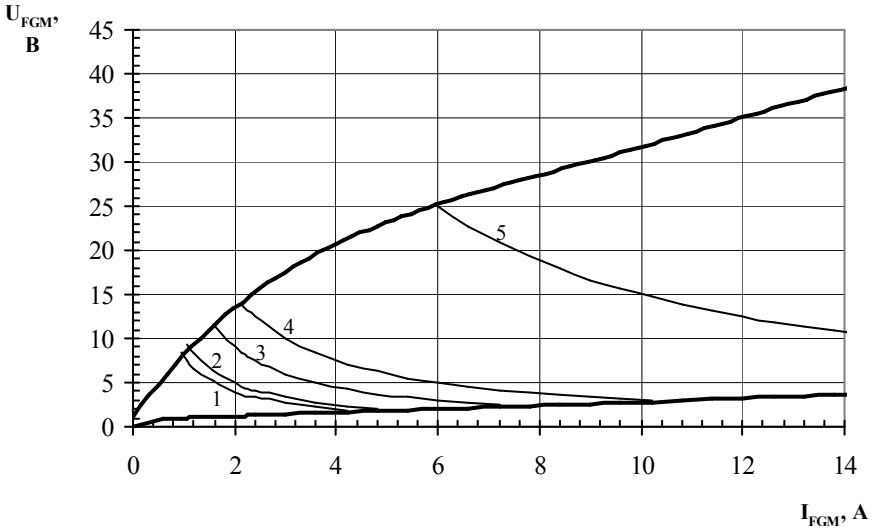

Maximum peak gate power loss

Position	On-Off time ratio	Gate pulse length, ms	Gate Pulse Power, W
1	1	DC	8
2	2	10	10
3	20	1	18
4	40	0.5	30
5	200	0.1	150

Fig. 2 Gate characteristics

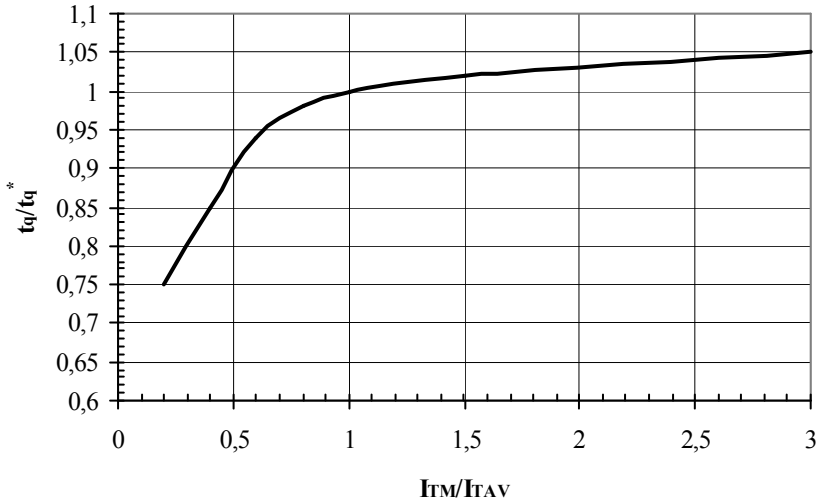

Fig. 3 Turn-off time t_q vs. On-state peak current I_{TM}

Conditions: $T_j=T_{j\,max}$; $di_R/dt=10$ A/μs; $V_R=100$ V; $dv_D/dt=50$ V/μs; $V_D=0.67 \cdot V_{DRM}$
Typical changes of t_q are normalized to the t_q^* (t_q^* – see data sheet, $dv_D/dt=50$ V/μs)

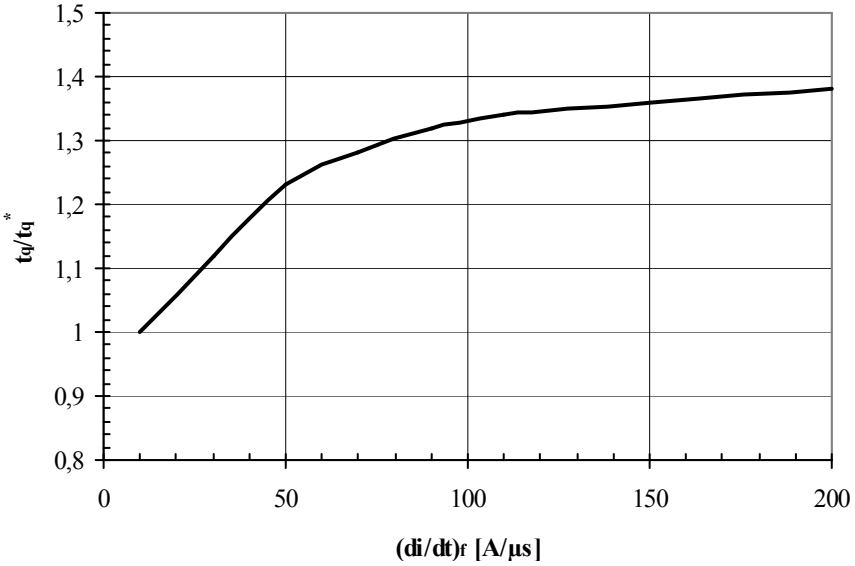

Fig. 4 Turn-off time t_q vs. Rate of fall of on-state current di_R/dt

Conditions: $T_j=T_{j\,max}$; $I_{TM}=I_{TAV}$; $V_R=100$ V; $dv_D/dt=50$ V/μs; $V_D=0.67 \cdot V_{DRM}$
Typical changes of t_q are normalized to the t_q^* (t_q^* – see data sheet, $dv_D/dt=50$ V/μs)

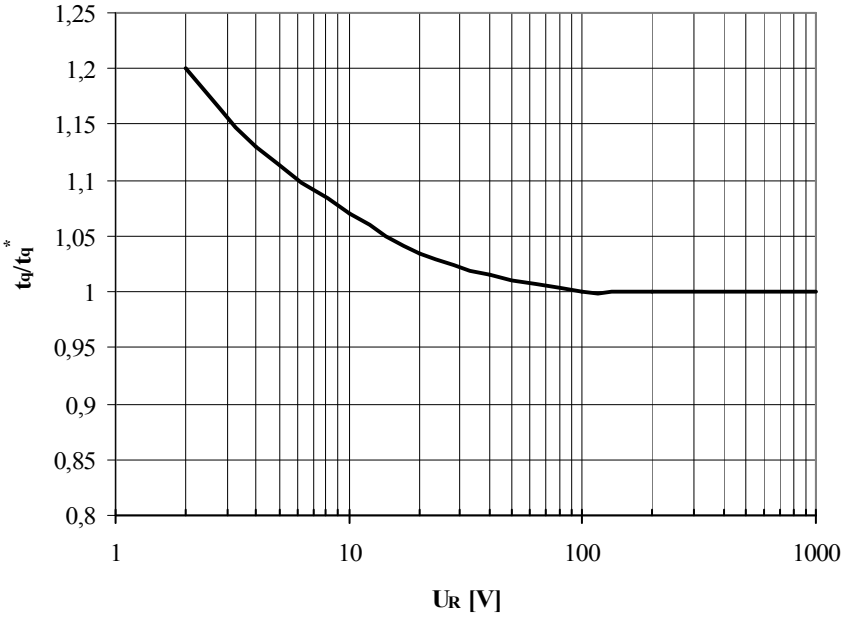

Fig. 5 Turn-off time t_q vs. Reverse voltage V_R

Conditions: $T_j=T_{j\,max}$; $I_{TM}=I_{TAV}$; $di_R/dt=10$ A/μs; $dv_D/dt=50$ V/μs; $V_D=0.67 \cdot V_{DRM}$
Typical changes of t_q are normalized to the t_q^* (t_q^* – see data sheet, $dv_D/dt=50$ V/μs)

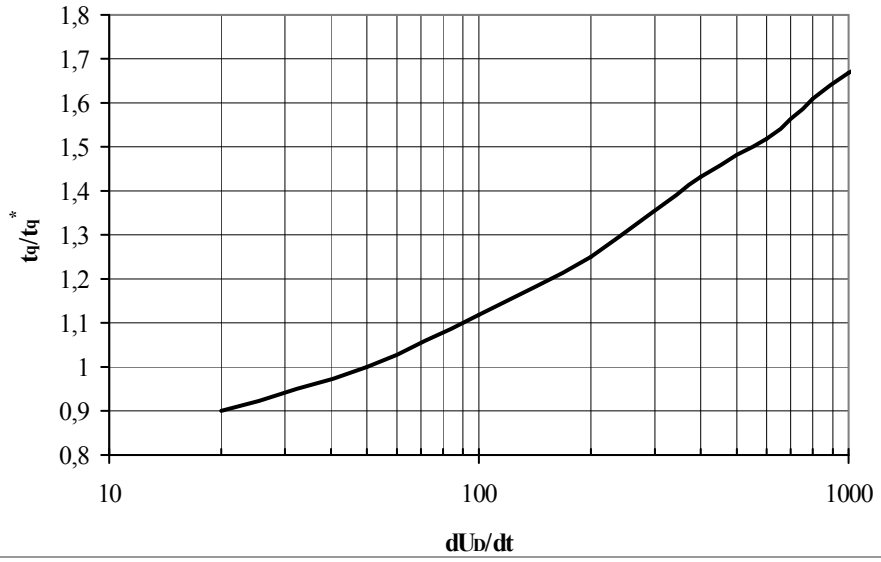

Fig. 6 Turn-off time t_q vs. Rate of rise of commutating voltage dv_D/dt

Conditions: $T_j=T_{j\,max}$; $I_{TM}=I_{TAV}$; $di_R/dt=10$ A/μs; $V_R=100$ V; $V_D=0.67 \cdot V_{DRM}$
Typical changes of t_q are normalized to the t_q^* (t_q^* – see data sheet, $dv_D/dt=50$ V/μs)

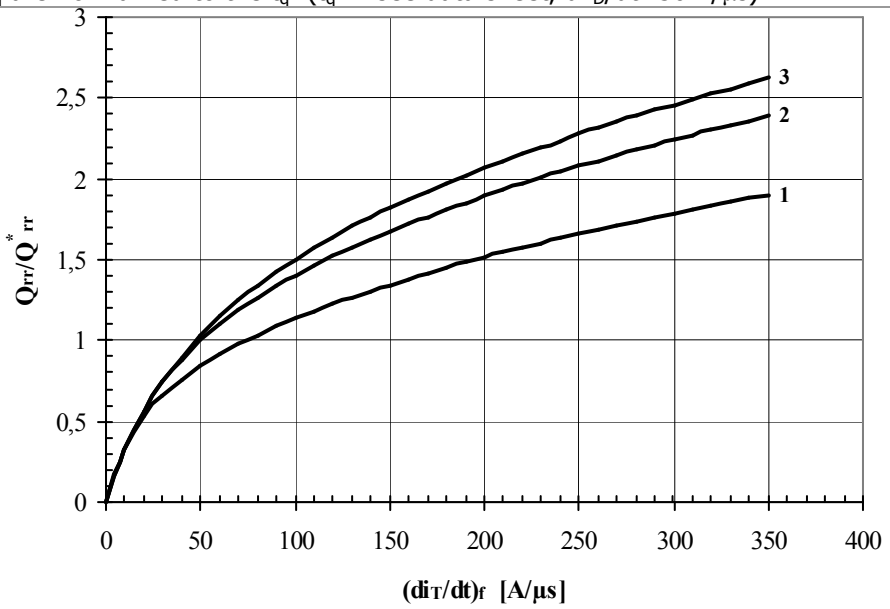

Fig. 7 Reverse recovery charge Q_{rr}, vs. Rate of fall of on-state current di_R/dt
1 – $I_{TM} = 0.5 \cdot I_{TAV}$
2 – $I_{TM} = I_{TAV}$,
3 – $I_{TM} = 1.5 \cdot I_{TAV}$

Conditions: $T_j=T_{j\,max}$; $V_R=100$ V
Typical changes of Q_{rr} are normalized to the Q_{rr}^* (Q_{rr}^* – see data sheet)

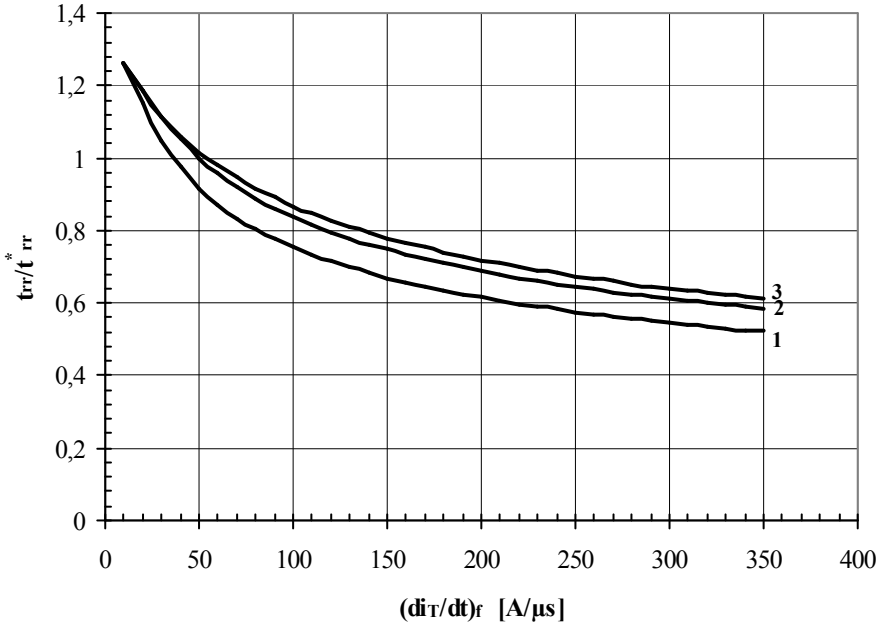

Fig. 8 Reverse recovery time t_{rr} vs. Rate of fall of on-state current di_R/dt
1 – $I_{TM} = 0.5 \cdot I_{TAV}$
2 – $I_{TM} = I_{TAV}$,
3 – $I_{TM} = 1.5 \cdot I_{TAV}$

Conditions: $T_j = T_{j\,max}$; V_R=100 V
Typical changes of t_{rr} are normalized to the t_{rr}^* (t_{rr}^* – see data sheet)

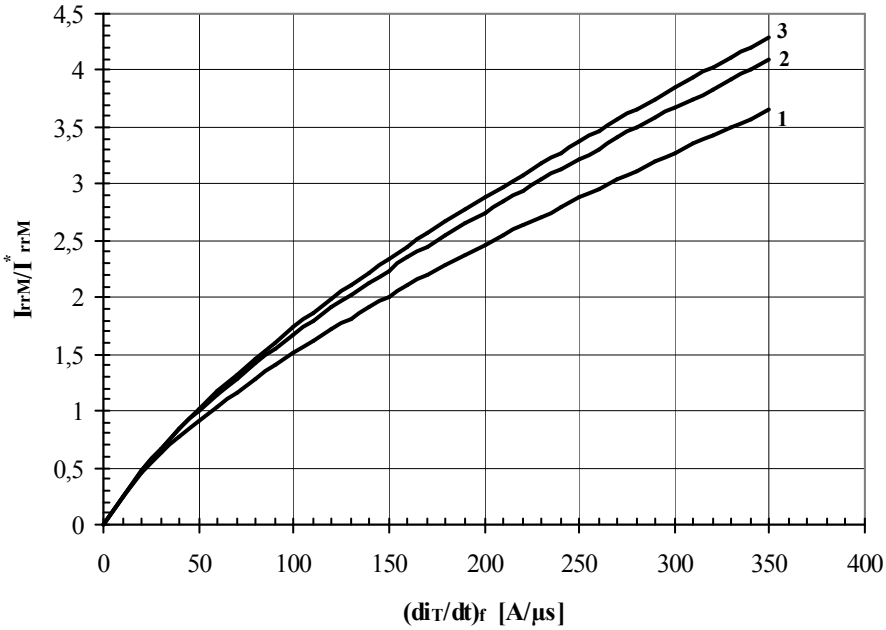

Fig. 9 Peak reverse recovery current I_{rrM} vs. Rate of fall of on-state current di_R/dt
1 – $I_{TM} = 0.5 \cdot I_{TAV}$
2 – $I_{TM} = I_{TAV}$,
3 – $I_{TM} = 1.5 \cdot I_{TAV}$

Conditions: $T_j = T_{j\,max}$; V_R=100 V
Typical changes of I_{rrM} are normalized to the I_{rrM}^* (I_{rrM}^* – see data sheet)

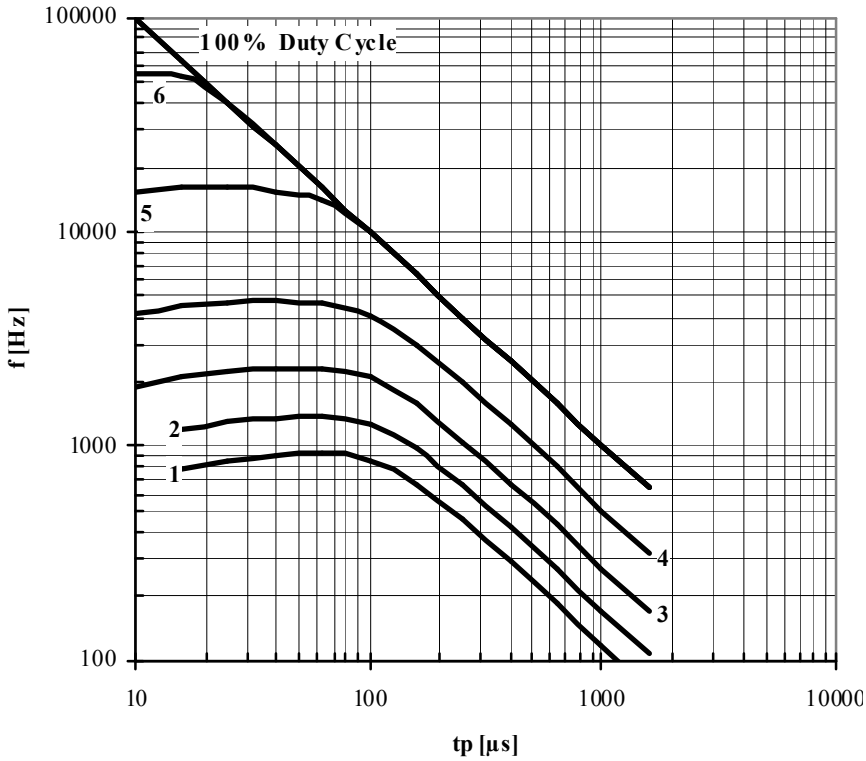

Fig. 10 Sine wave frequency ratings
1 – I_{TM} = 5000 A
2 – I_{TM} = 4000 A
3 – I_{TM} = 3000 A
4 – I_{TM} = 2000 A
5 – I_{TM} = 1000 A
6 – I_{TM} = 500 A

Conditions: $V_R \leq 3$ V; T_C=55 °C

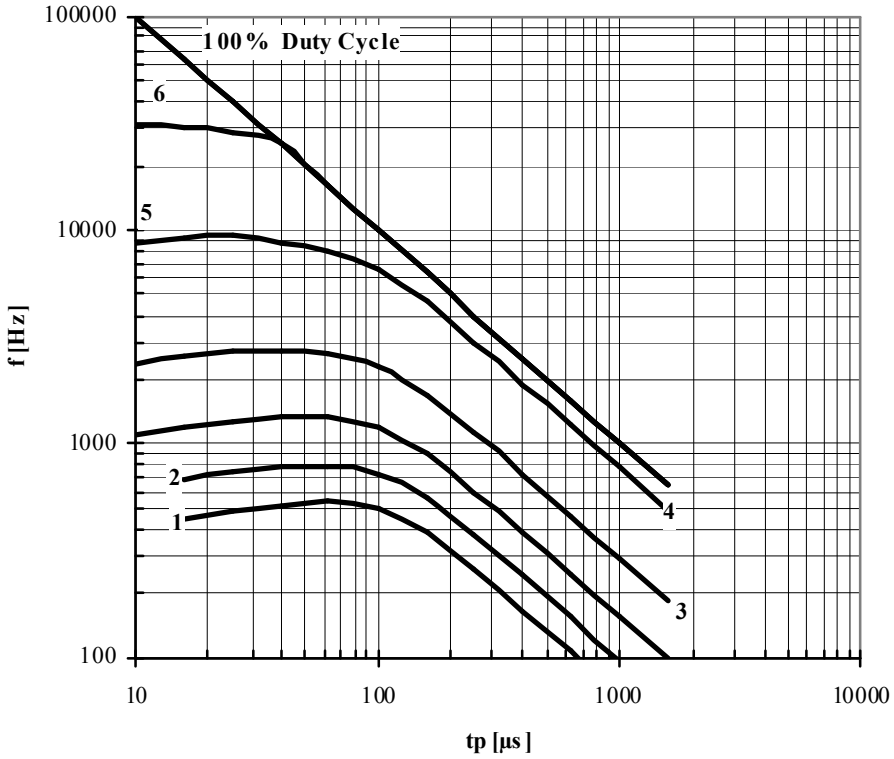

Fig. 11 Sine wave frequency ratings
1 – I_{TM} = 5000 A
2 – I_{TM} = 4000 A
3 – I_{TM} = 3000 A
4 – I_{TM} = 2000 A
5 – I_{TM} = 1000 A
6 – I_{TM} = 500 A

Conditions: $V_R \leq 3$ V; T_C=90 °C

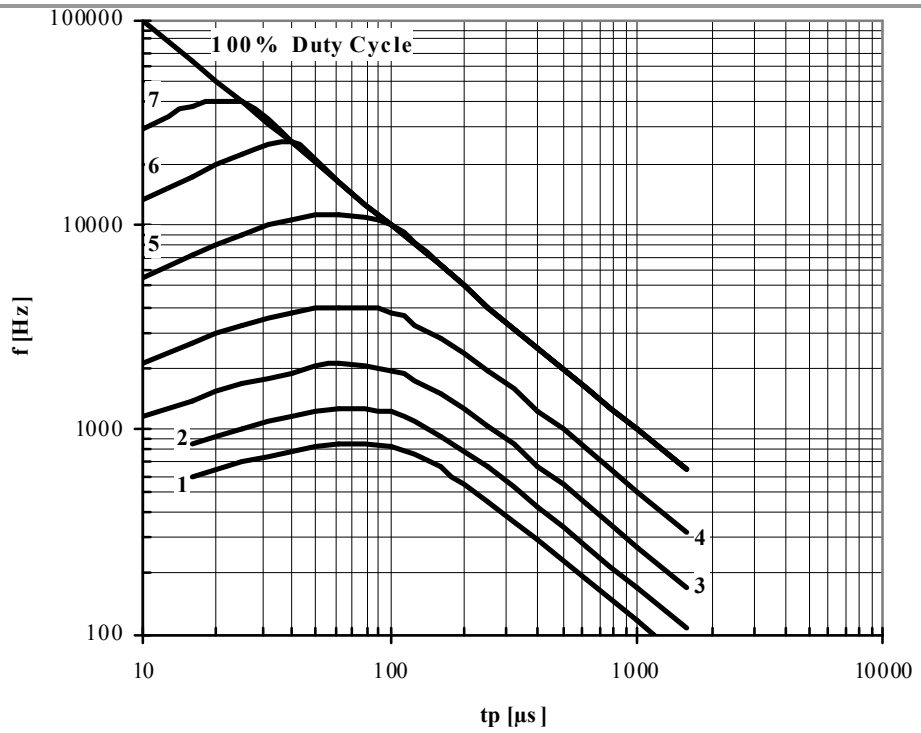

Fig. 12 Sine wave frequency ratings

1 – I_{TM} = 5000 A
2 – I_{TM} = 4000 A
3 – I_{TM} = 3000 A
4 – I_{TM} = 2000 A
5 – I_{TM} = 1000 A
6 – I_{TM} = 500 A
7 – I_{TM} = 250 A

Conditions: V_R=0.67·V_{RRM}; T_C=55 °C

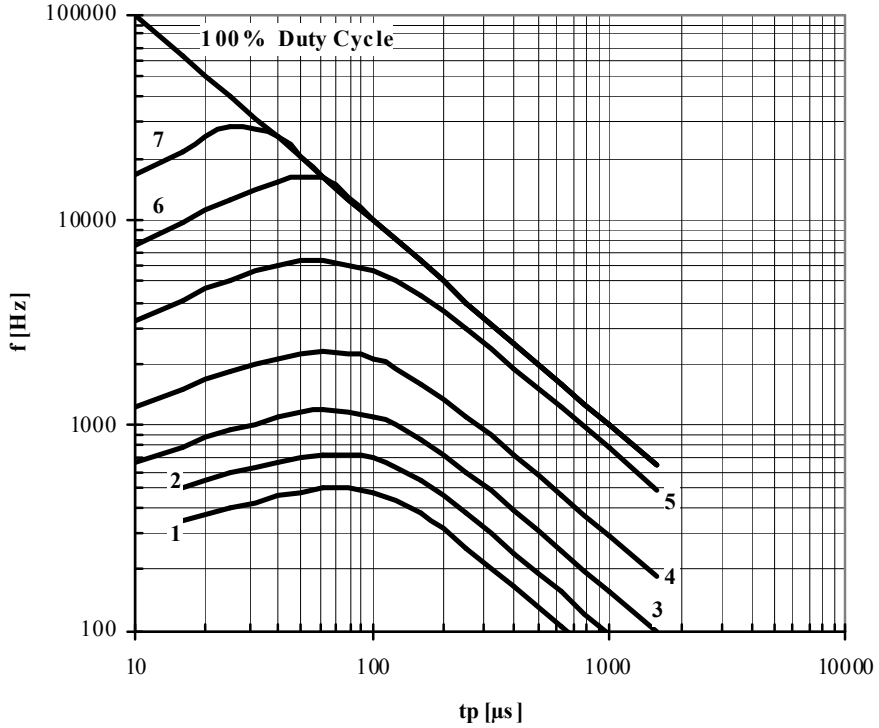

Fig. 13 Sine wave frequency ratings

1 – I_{TM} = 5000 A
2 – I_{TM} = 4000 A
3 – I_{TM} = 3000 A
4 – I_{TM} = 2000 A
5 – I_{TM} = 1000 A
6 – I_{TM} = 500 A
7 – I_{TM} = 250 A

Conditions: V_R=0.67·V_{RRM}; T_C=90 °C

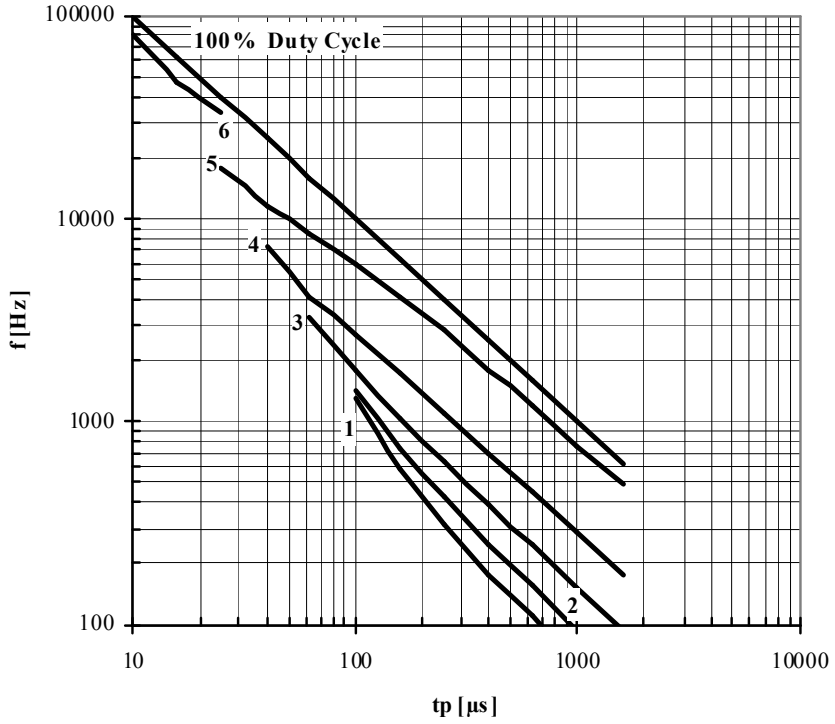

Fig. 14 Square wave frequency ratings
1 – I_{TM} = 5000 A
2 – I_{TM} = 4000 A
3 – I_{TM} = 3000 A
4 – I_{TM} = 2000 A
5 – I_{TM} = 1000 A
6 – I_{TM} = 500 A

Conditions: $V_R \leq 3$ V; T_C=55 °C; $di_F/dt=di_R/dt$=100 A/µs

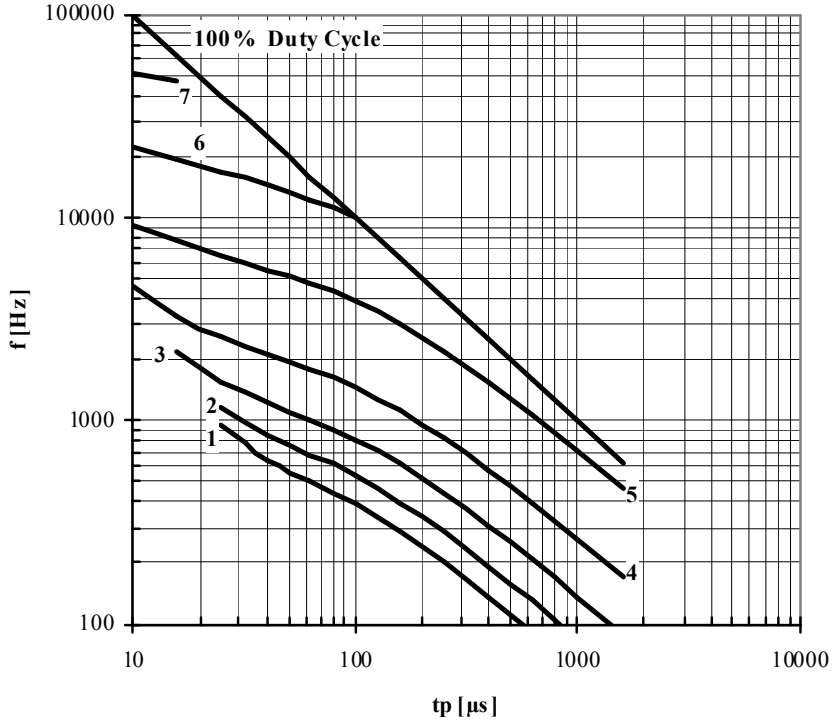

Fig. 15 Square wave frequency ratings
1 – I_{TM} = 5000 A
2 – I_{TM} = 4000 A
3 – I_{TM} = 3000 A
4 – I_{TM} = 2000 A
5 – I_{TM} = 1000 A
6 – I_{TM} = 500 A
7 – I_{TM} = 250 A

Conditions: $V_R \leq 3$ V; T_C=55 °C; $di_F/dt=di_R/dt$=500 A/µs

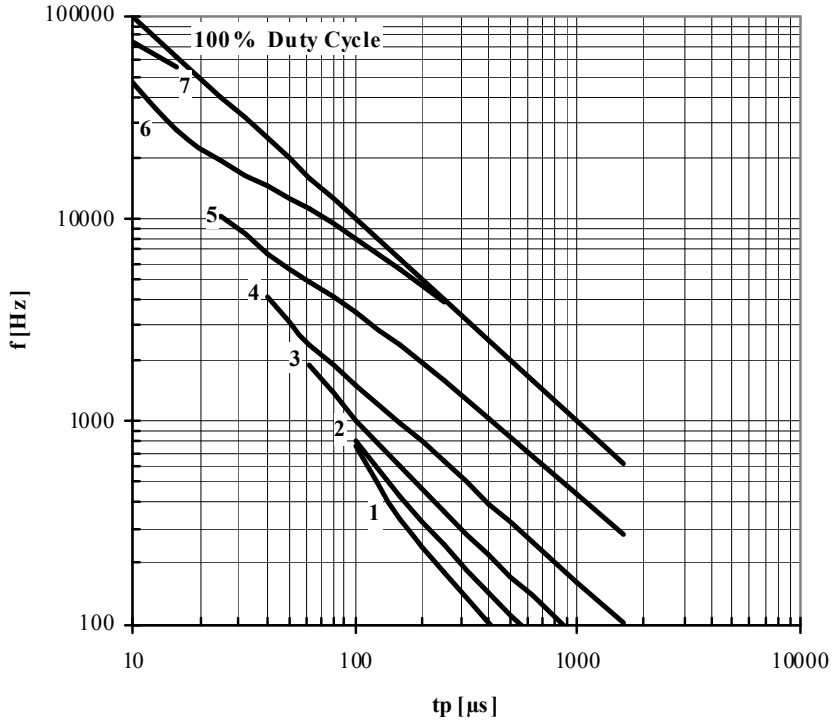

Fig. 16 Square wave frequency ratings
1 – I_{TM} = 5000 A
2 – I_{TM} = 4000 A
3 – I_{TM} = 3000 A
4 – I_{TM} = 2000 A
5 – I_{TM} = 1000 A
6 – I_{TM} = 500 A
7 – I_{TM} = 250 A

Conditions: $V_R \leq 3$ V; T_C=90 °C; $di_F/dt = di_R/dt$=100 A/µs

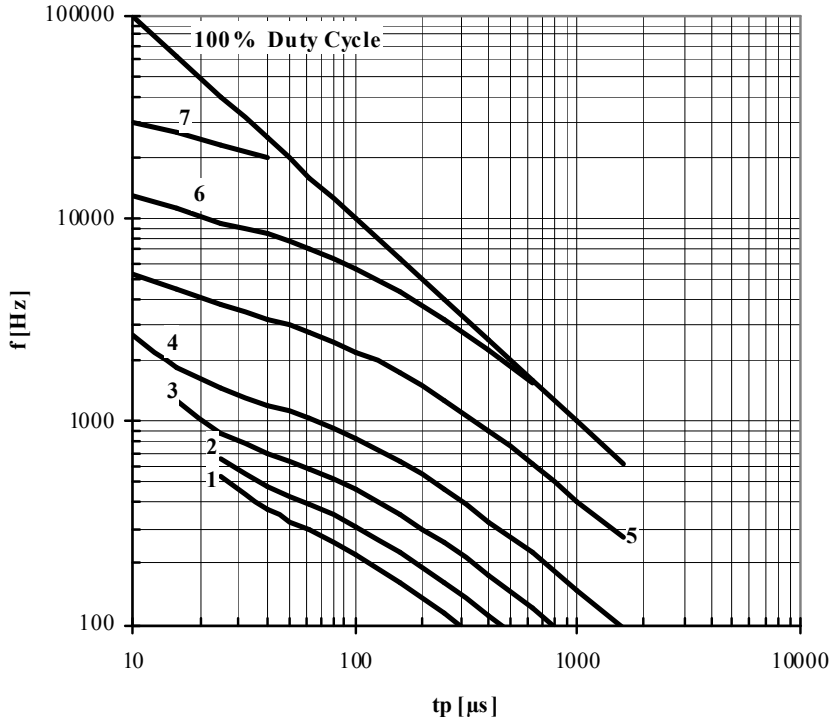

Fig. 17 Square wave frequency ratings
1 – I_{TM} = 5000 A
2 – I_{TM} = 4000 A
3 – I_{TM} = 3000 A
4 – I_{TM} = 2000 A
5 – I_{TM} = 1000 A
6 – I_{TM} = 500 A
7 – I_{TM} = 250 A

Conditions: $V_R \leq 3$ V; T_C=90 °C; $di_F/dt = di_R/dt$=500 A/µs

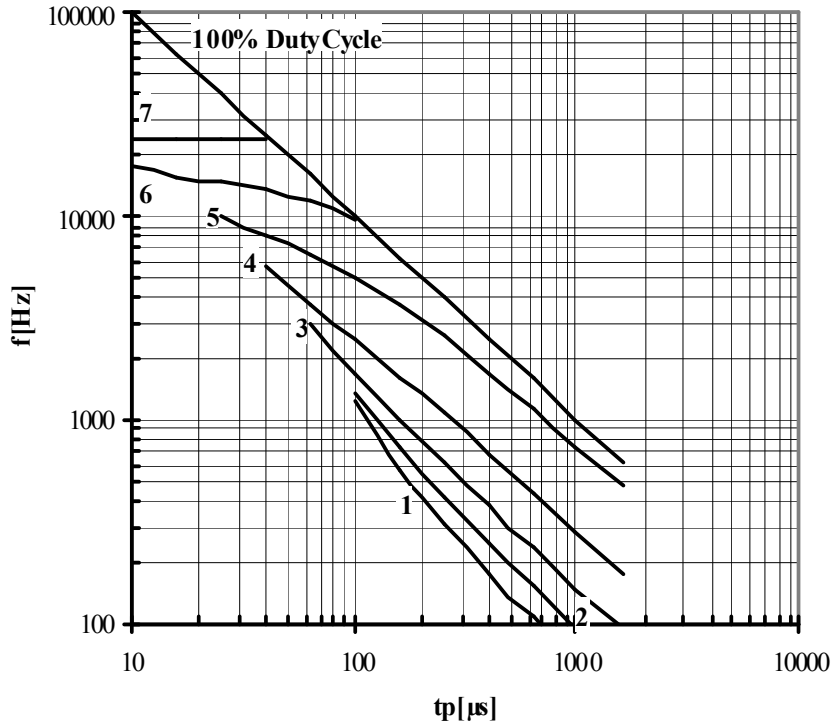

Fig. 18 Square wave frequency ratings
1 – I_{TM} = 5000 A
2 – I_{TM} = 4000 A
3 – I_{TM} = 3000 A
4 – I_{TM} = 2000 A
5 – I_{TM} = 1000 A
6 – I_{TM} = 500 A
7 – I_{TM} = 250 A

Conditions: V_R=0.67·V_{RRM}; T_C=55 °C; di_F/dt=di_R/dt=100 A/µs

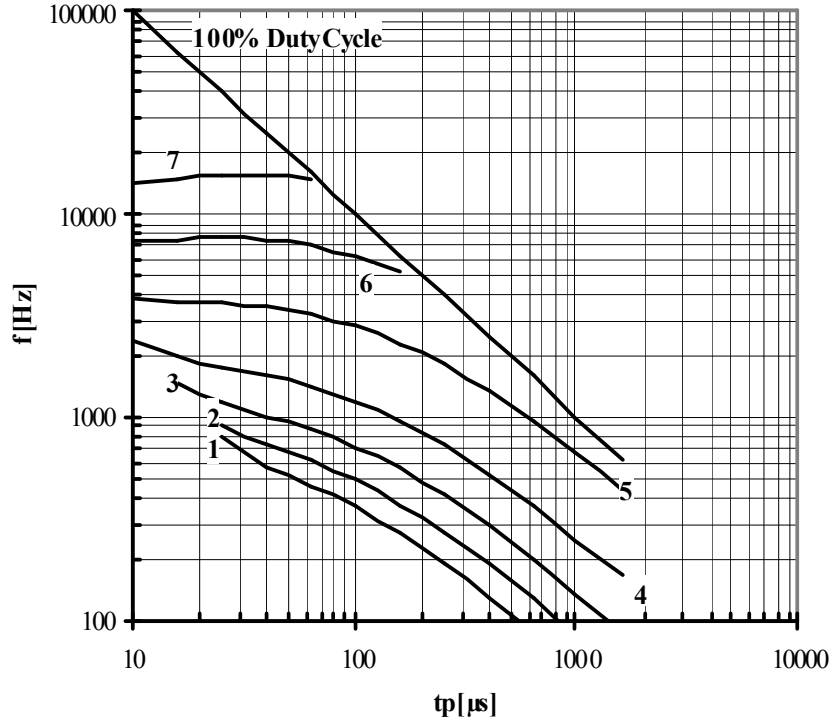

Fig. 19 Square wave frequency ratings
1 – I_{TM} = 5000 A
2 – I_{TM} = 4000 A
3 – I_{TM} = 3000 A
4 – I_{TM} = 2000 A
5 – I_{TM} = 1000 A
6 – I_{TM} = 500 A
7 – I_{TM} = 250 A

Conditions: V_R=0.67·V_{RRM}; T_C=55 °C; di_F/dt=di_R/dt=500 A/µs

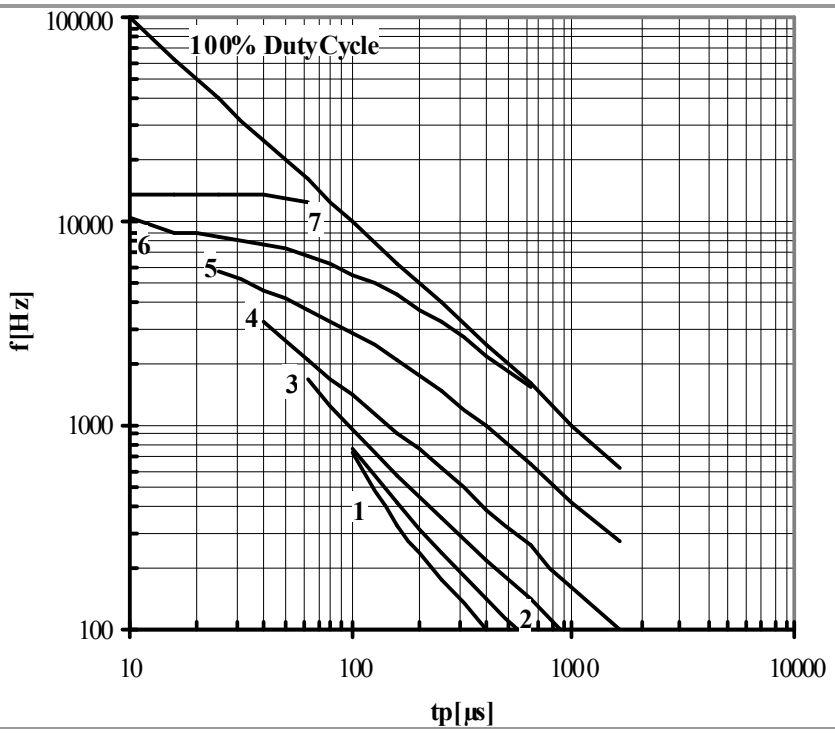

Fig. 20 Square wave frequency ratings
1 – I_{TM} = 5000 A
2 – I_{TM} = 4000 A
3 – I_{TM} = 3000 A
4 – I_{TM} = 2000 A
5 – I_{TM} = 1000 A
6 – I_{TM} = 500 A
7 – I_{TM} = 250 A

Conditions: V_R=0.67·V_{RRM}; T_C=90 °C; di_F/dt=di_R/dt=100 A/µs

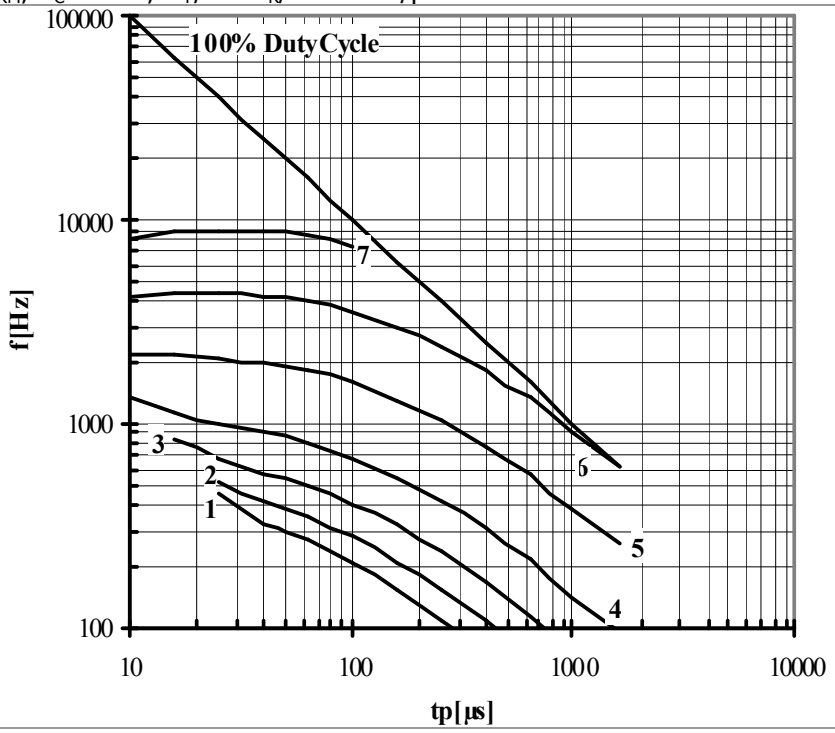

Fig. 21 Square wave frequency ratings
1 – I_{TM} = 5000 A
2 – I_{TM} = 4000 A
3 – I_{TM} = 3000 A
4 – I_{TM} = 2000 A
5 – I_{TM} = 1000 A
6 – I_{TM} = 500 A
7 – I_{TM} = 250 A

Conditions: V_R=0.67·V_{RRM}; T_C=90 °C; di_F/dt=di_R/dt=500 A/µs

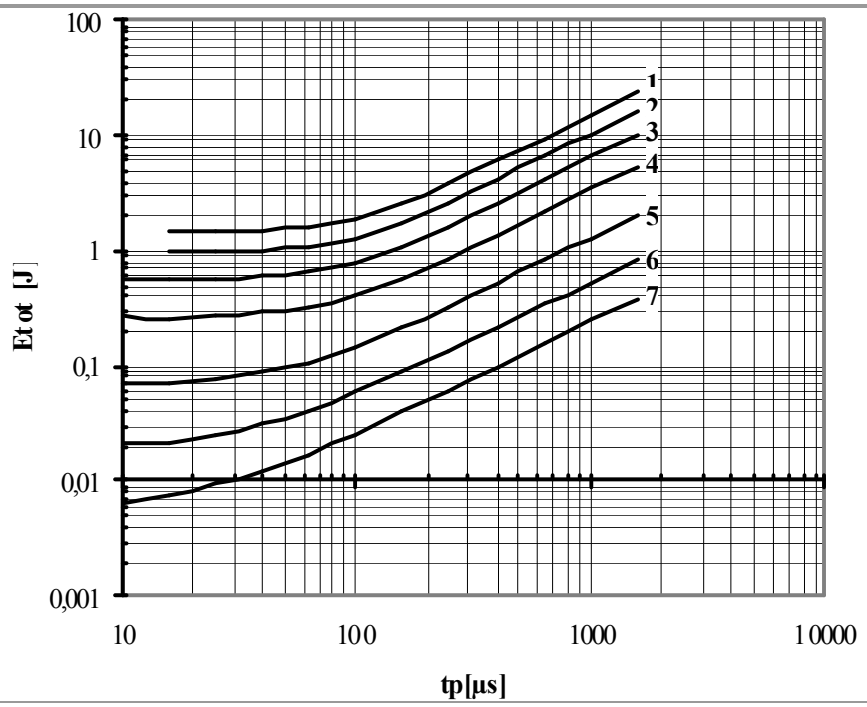

Fig. 22 Sine wave loss energy per pulse
1 – I_{TM} = 5000 A
2 – I_{TM} = 4000 A
3 – I_{TM} = 3000 A
4 – I_{TM} = 2000 A
5 – I_{TM} = 1000 A
6 – I_{TM} = 500 A
7 – I_{TM} = 250 A

Conditions: $V_R \leq 3$ V

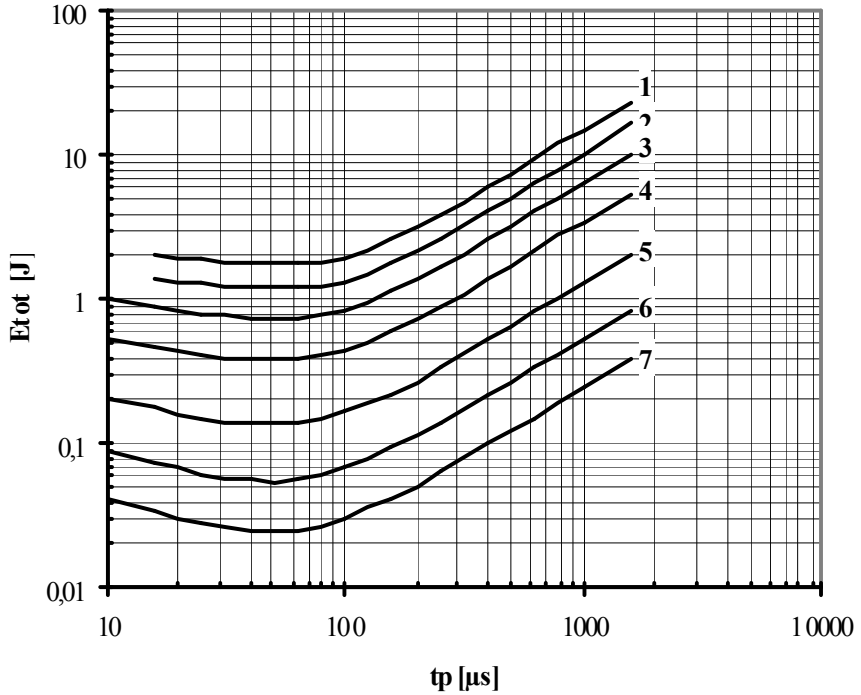

Fig. 23 Sine wave loss energy per pulse
1 – I_{TM} = 5000 A
2 – I_{TM} = 4000 A
3 – I_{TM} = 3000 A
4 – I_{TM} = 2000 A
5 – I_{TM} = 1000 A
6 – I_{TM} = 500 A
7 – I_{TM} = 250 A

Conditions: $V_R = 0.67 \cdot V_{RRM}$

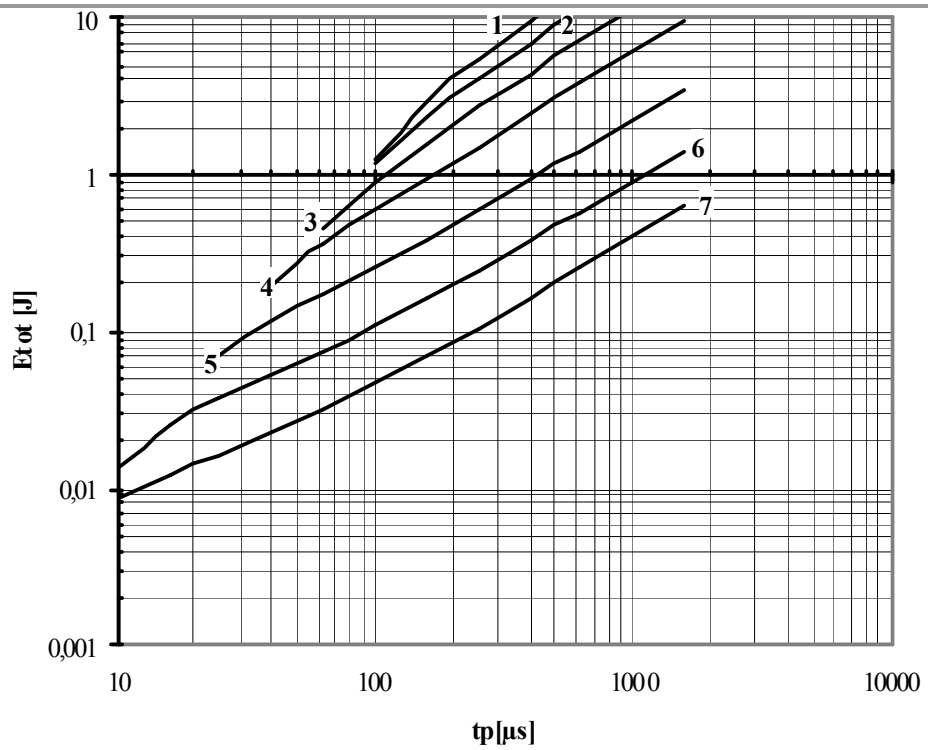

Fig. 24 Square wave loss energy per pulse

1 – I_{TM} = 5000 A
2 – I_{TM} = 4000 A
3 – I_{TM} = 3000 A
4 – I_{TM} = 2000 A
5 – I_{TM} = 1000 A
6 – I_{TM} = 500 A
7 – I_{TM} = 250 A

Conditions: $V_R \leq 3$ V; $di_F/dt = di_R/dt = 100$ A/µs

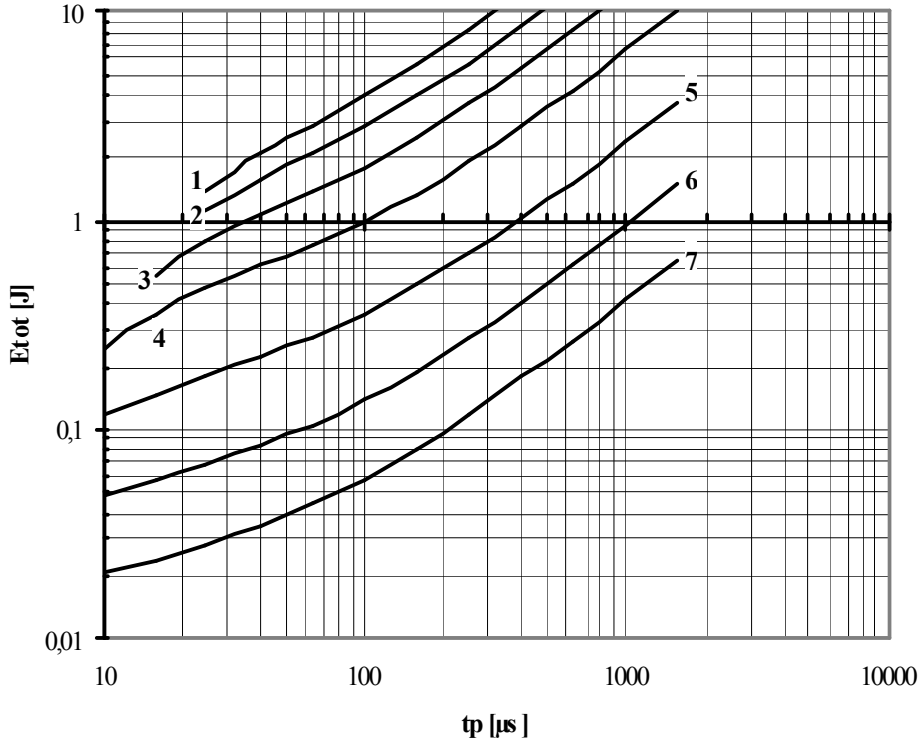

Fig. 25 Square wave loss energy per pulse
1 – I_{TM} = 5000 A
2 – I_{TM} = 4000 A
3 – I_{TM} = 3000 A
4 – I_{TM} = 2000 A
5 – I_{TM} = 1000 A
6 – I_{TM} = 500 A
7 – I_{TM} = 250 A

Conditions: $V_R \leq 3$ V; $di_F/dt = di_R/dt = 500$ A/µs

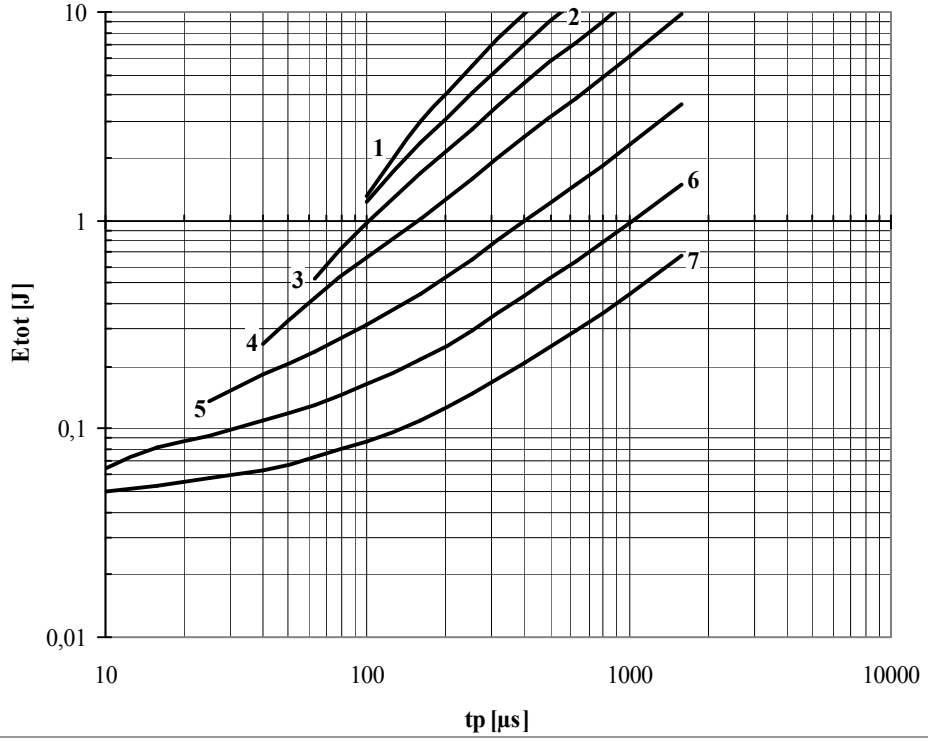

Fig. 26 Square wave loss energy per pulse
1 – I_{TM} = 5000 A
2 – I_{TM} = 4000 A
3 – I_{TM} = 3000 A
4 – I_{TM} = 2000 A
5 – I_{TM} = 1000 A
6 – I_{TM} = 500 A
7 – I_{TM} = 250 A

Conditions: $V_R = 0.67 \cdot V_{RRM}$; $di_F/dt = di_R/dt = 100$ A/µs

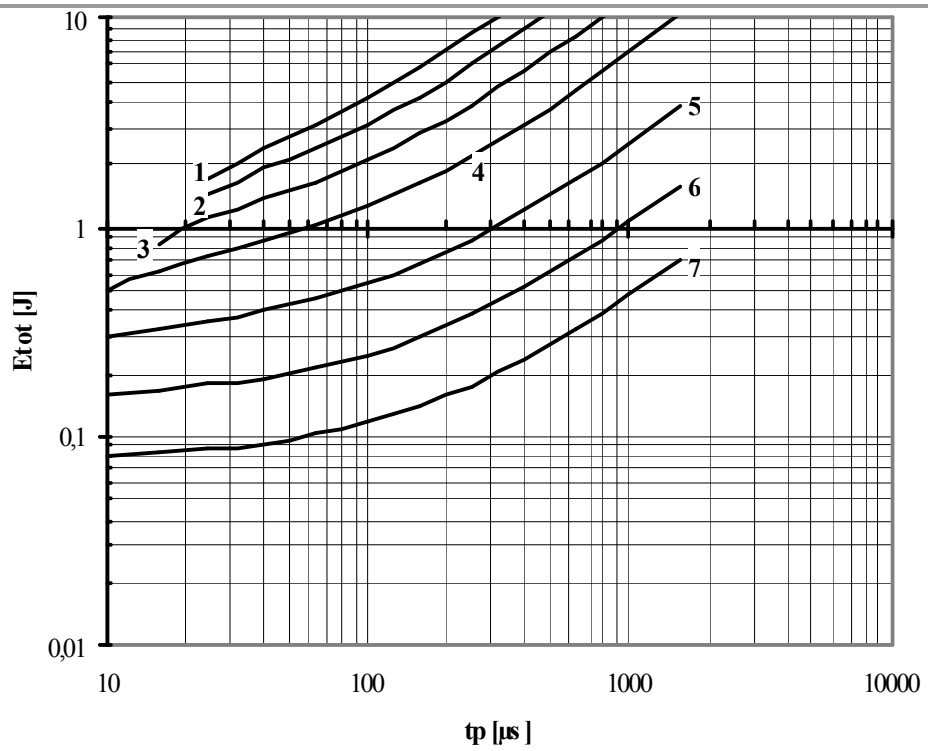

Fig. 27 Square wave loss energy per pulse

1 – I_{TM} = 5000 A
2 – I_{TM} = 4000 A
3 – I_{TM} = 3000 A
4 – I_{TM} = 2000 A
5 – I_{TM} = 1000 A
6 – I_{TM} = 500 A
7 – I_{TM} = 250 A

Conditions: V_R=0.67·V_{RRM}; di_F/dt=di_R/dt=500 A/µs

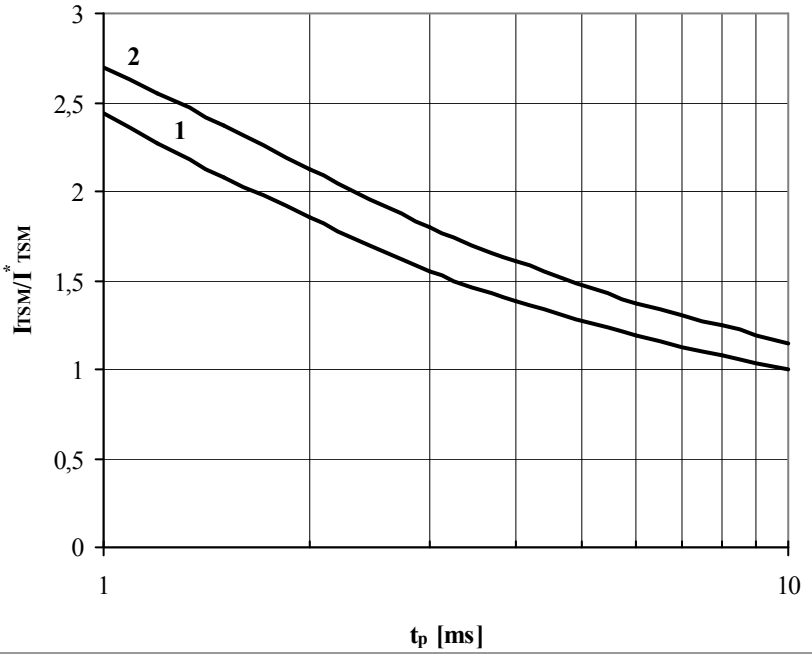

Fig. 28 The surge current I_{TSM} vs. Duration of surge t_p for a half-sine wave
1 – T_j=125 °C
2 – T_j=25 °C

Conditions: V_R=0 V – the peak value of reverse voltage which is applied immediately after the surge current
Typical changes of I_{TSM} are normalized to the I_{TSM}^* (I_{TSM}^* – see data sheet, T_j=$T_{j\ max}$)

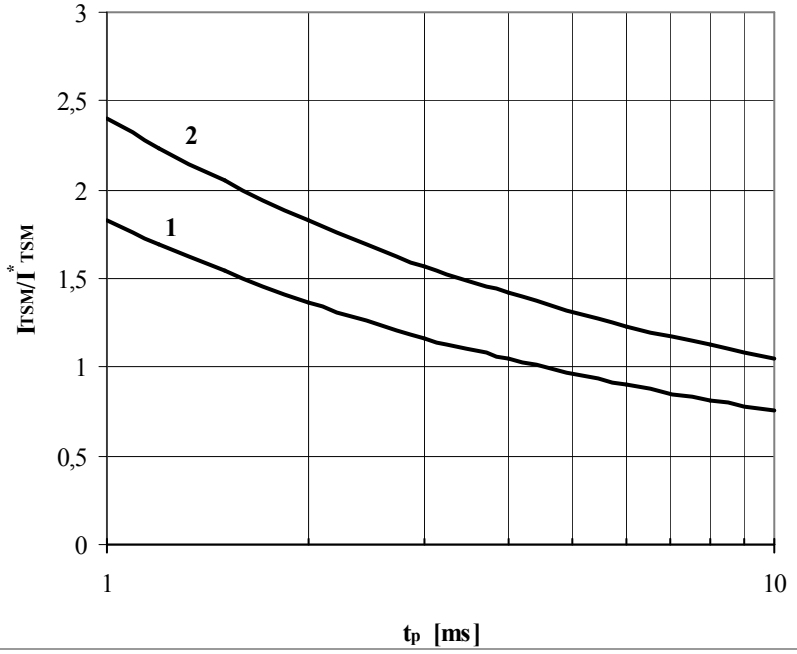

Fig. 29 The surge current I_{TSM} vs. Duration of surge t_p for a half-sine wave
1 – T_j=125 °C
2 – T_j=25 °C

Conditions: V_R=0.8·V_{RRM} – the peak value of reverse voltage which is applied immediately after the surge current
Typical changes of I_{TSM} are normalized to the I_{TSM}^* (I_{TSM}^* – see data sheet, T_j=$T_{j\ max}$)

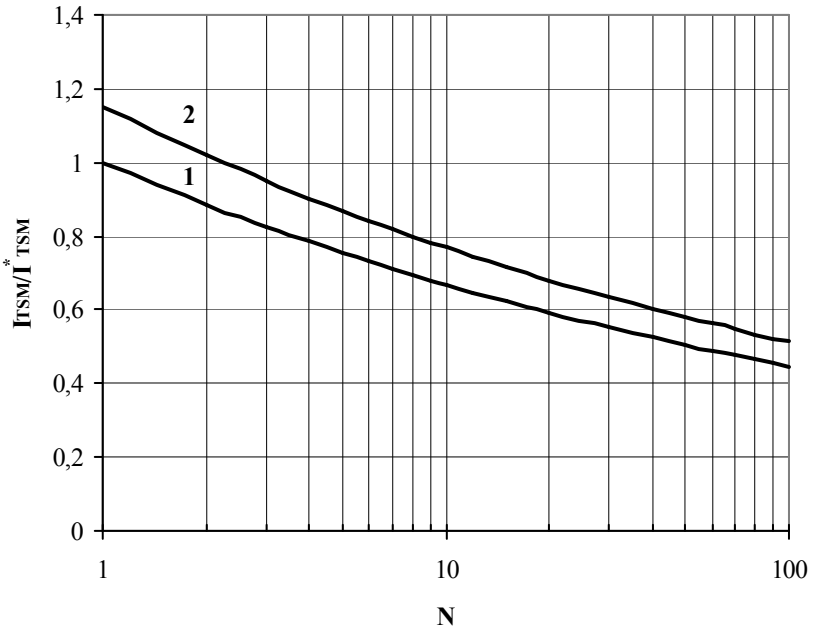

Fig. 30 The surge current I_{TSM} vs. Number of half-sine waves at 50 Hz
1 – T_j=125 °C
2 – T_j=25 °C

Conditions: V_R=0 V – the peak value of reverse voltage which is applied immediately after the surge current
Typical changes of I_{TSM} are normalized to the I_{TSM}^* (I_{TSM}^* – see data sheet, T_j=$T_{j\ max}$)

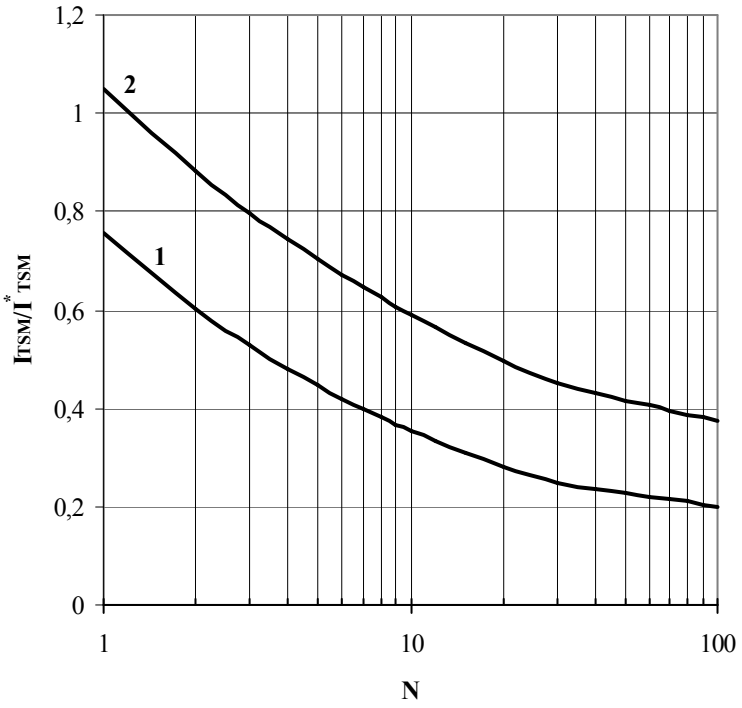

Fig. 31 The surge current I_{TSM} vs. Number of half-sine waves at 50 Hz
1 – T_j=125°C
2 – T_j=25°C

Conditions: V_R=0.8·V_{RRM} – the peak value of reverse voltage which is applied immediately after the surge current
Typical changes of I_{TSM} are normalized to the I_{TSM}^* (I_{TSM}^* – see data sheet, T_j=$T_{j\ max}$)